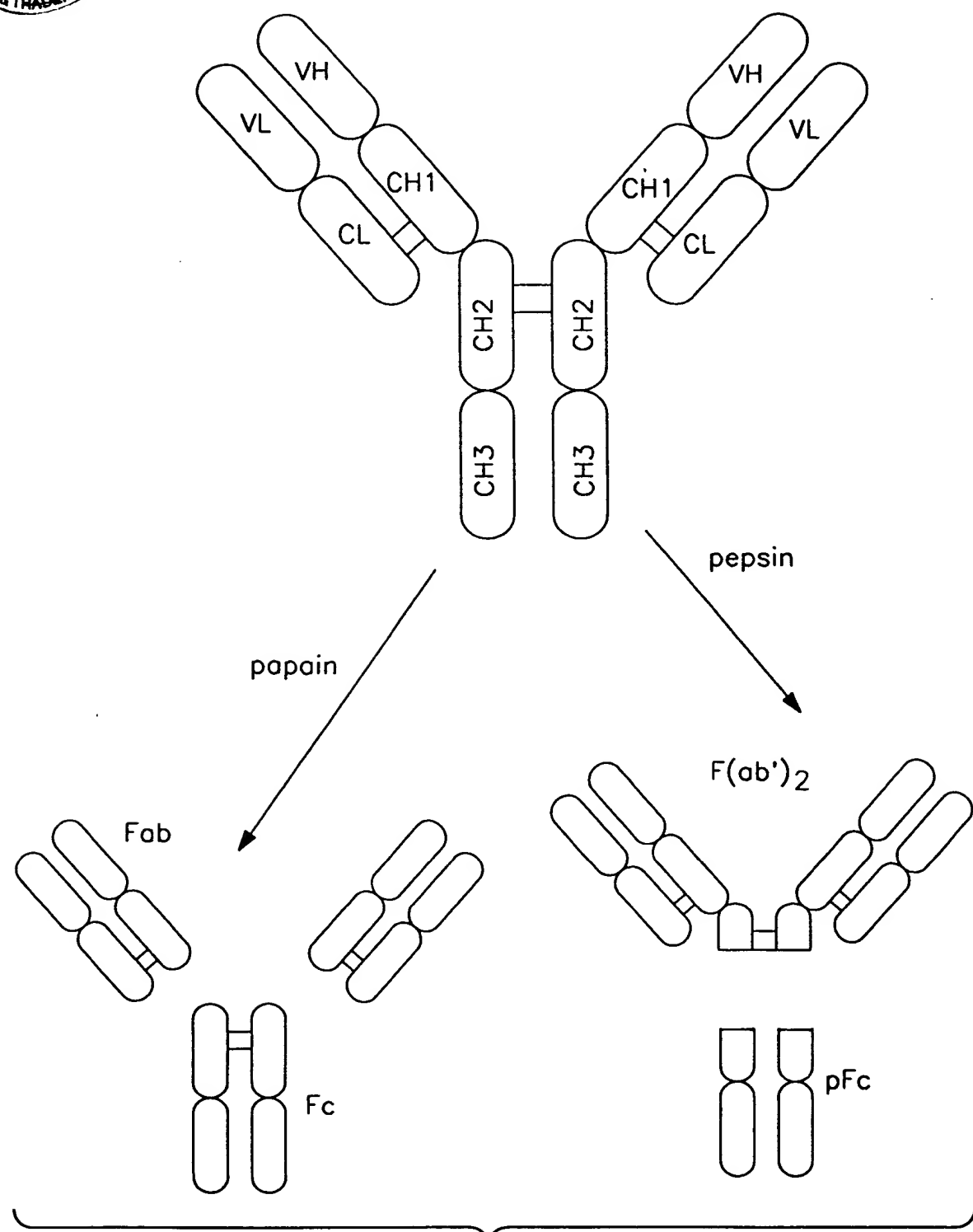




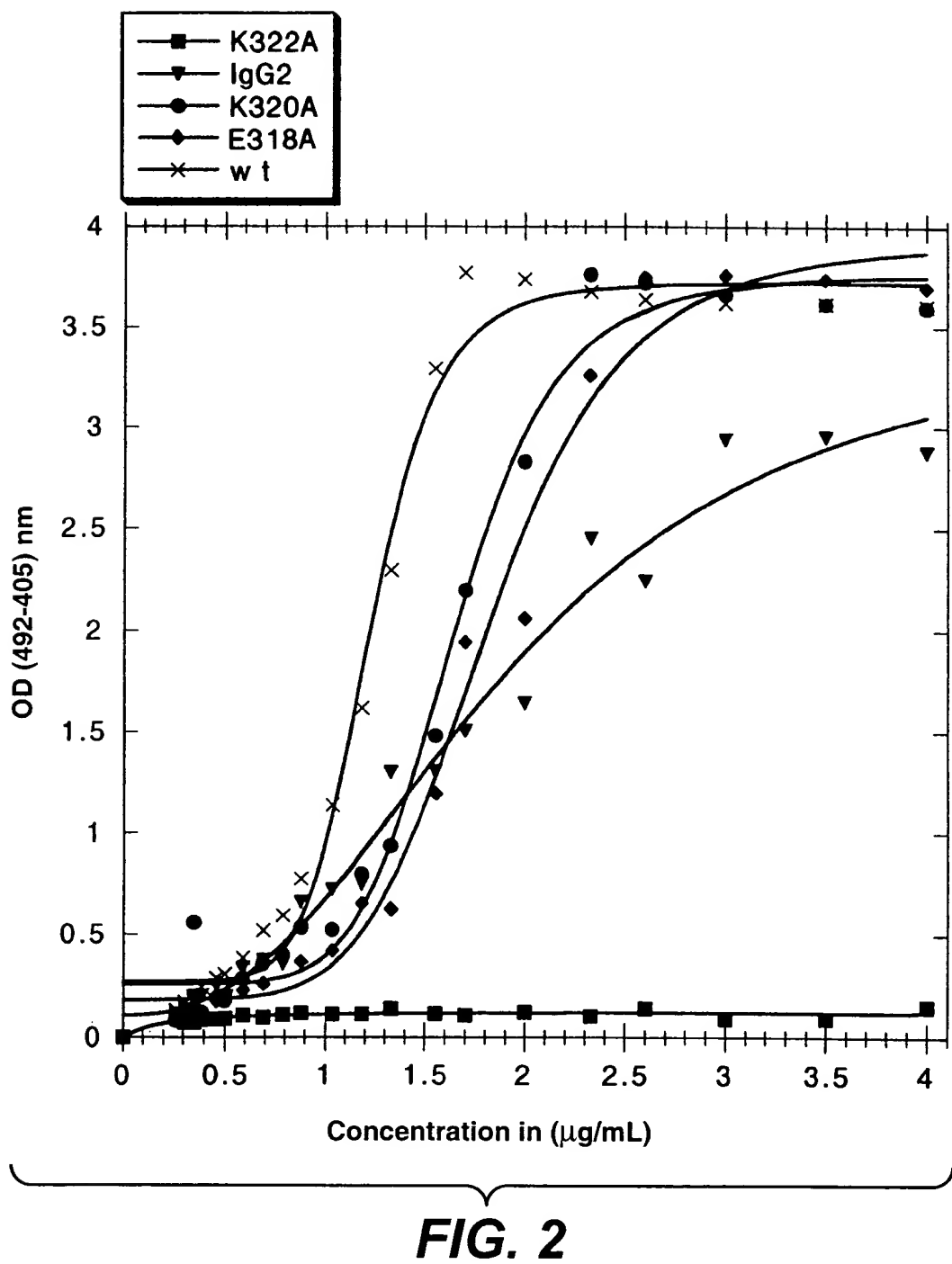
P1726R1P1

1 / 26

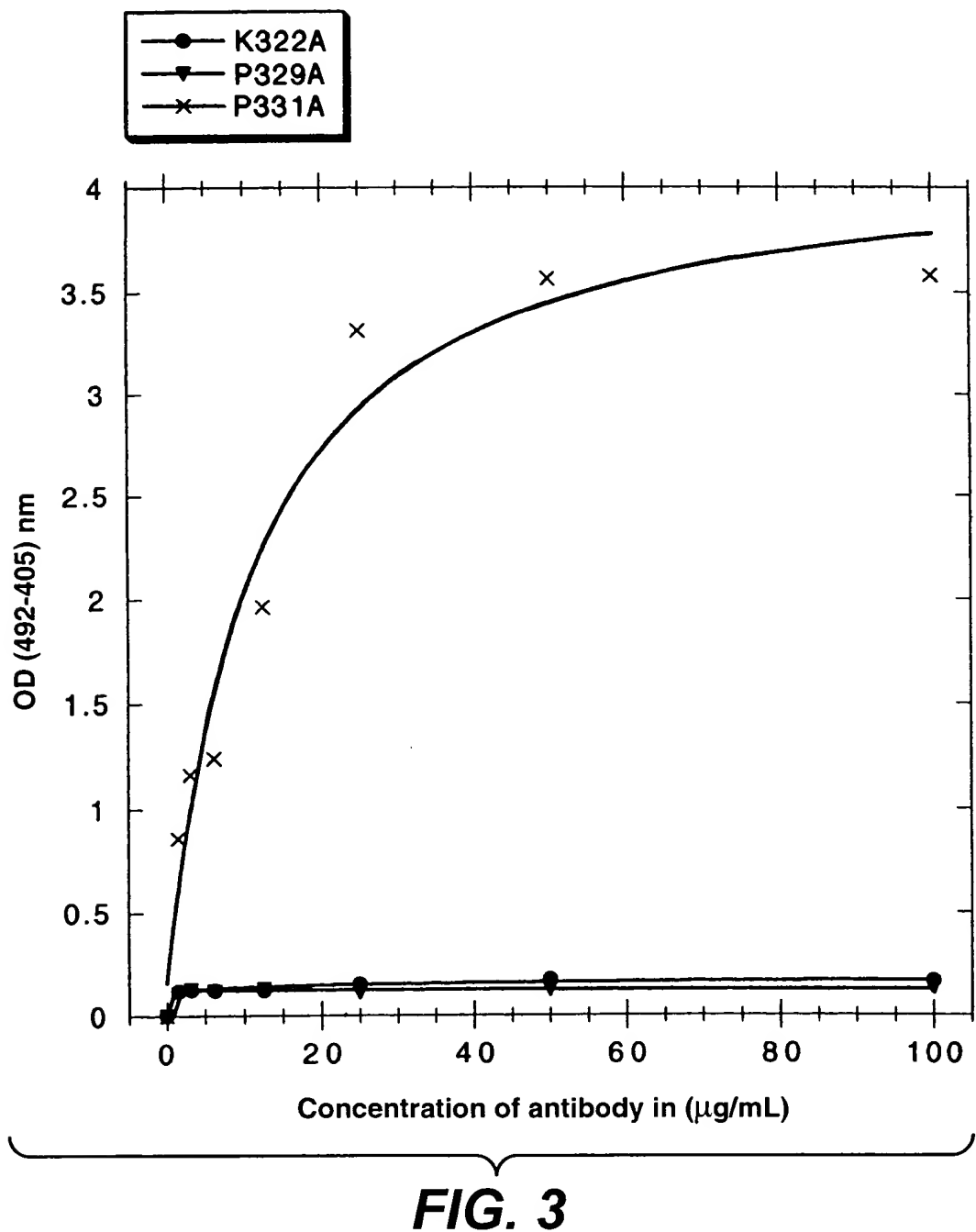


**FIG. 1**

2 / 26



3 / 26



(E27) - Light Chain

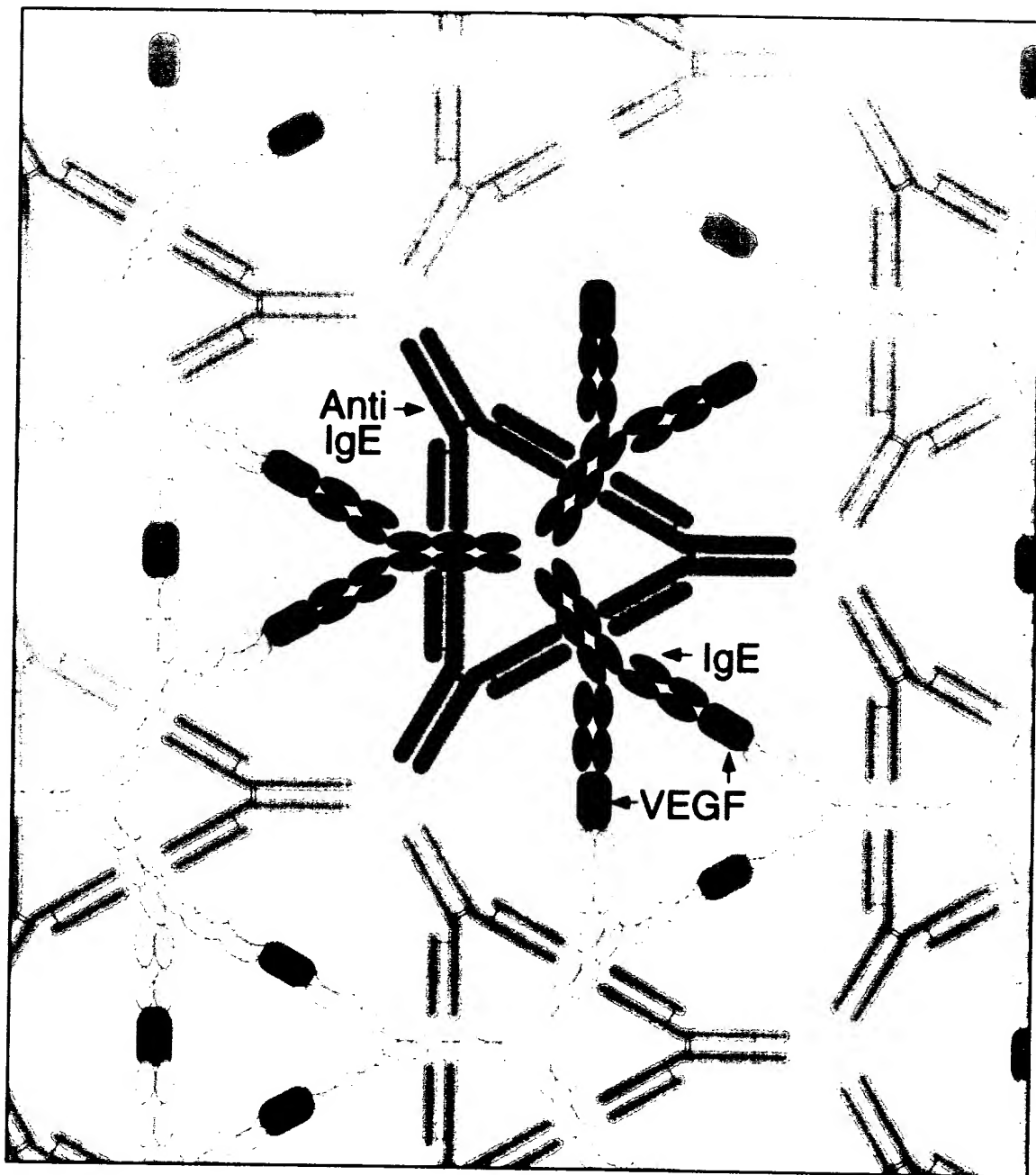
DIQLTQSPSS LSASVGDRVT ITCRASKPVD GEGDSYLNWY QQKPGKAPKL LIYAASYLES GPSPSRFSGSG  
SGTDFLTIS SLQPEDFATY YCQQSHEDPY TFGQGTTKVEI KRTVAAPSVF IFPPSDEQLK SGTAASVVCLL  
NNFYPREAKV QWKVDNALQS GNSQESVTEQ DSKDSTYSLIS STLFLSKADY EKHKVACEV THQGLSSPVT  
KSFNRGEC

**FIG. 4A**

(E27) - Heavy Chain

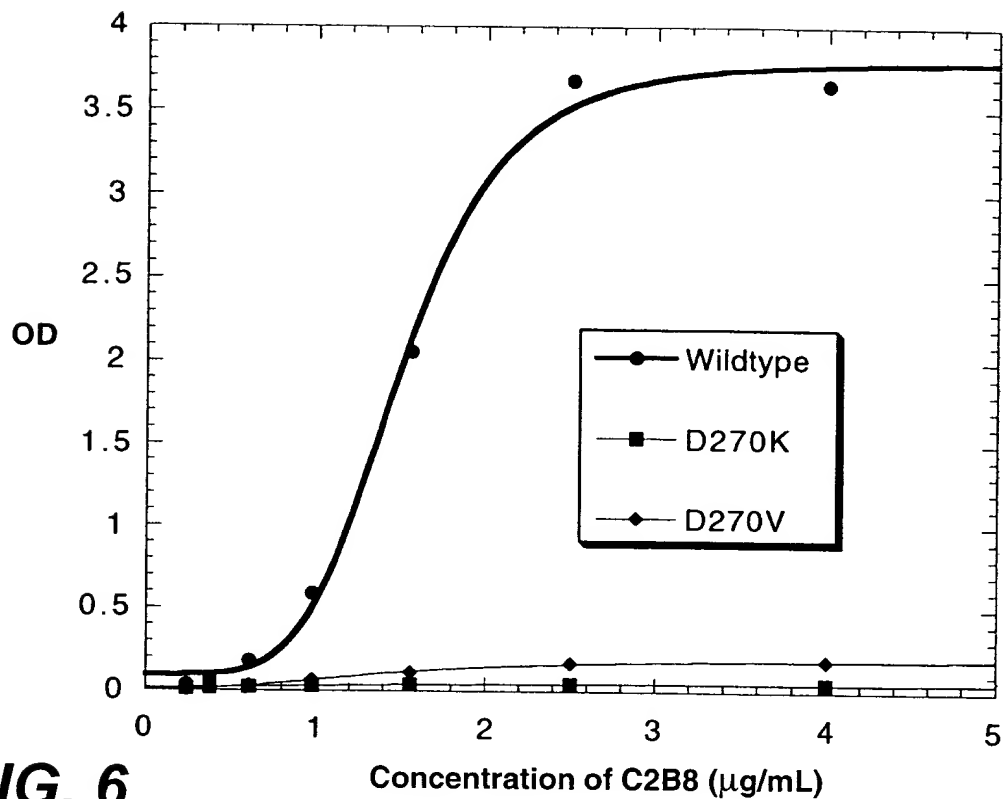
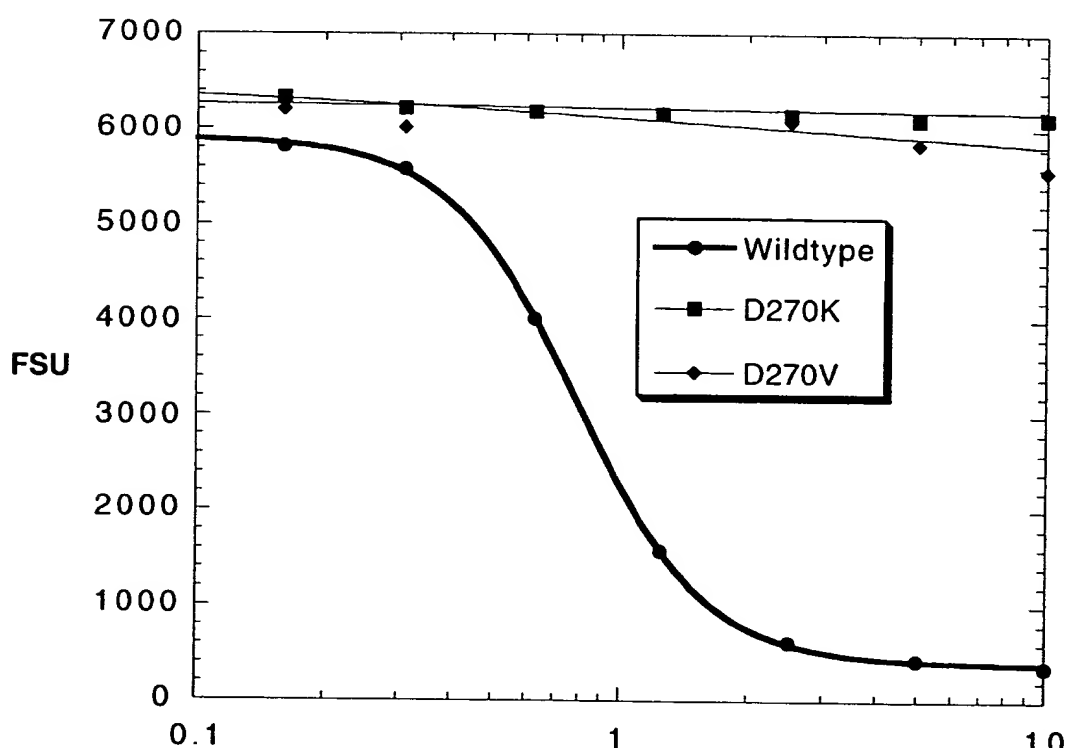
EVOLVESGG LVQPGGSSLRL SCAVSGYSIT SGYSWNWIRQ APGKGLEWVA SIKYSGETKY NPSVKGRITI  
SRDDSSKNTFY LQMNSLRAED TAVYYCARGS HYFGHHWFIAV WGQGTLYTVS SASTKGPSVF PLAPSSKSTS  
GGTAALGCLV KDYFPEPVTV SWNSGALTSG VHTFPAVLQS SGLYSSLSVV TVPRSSSLGTO TYICNVNHP  
SNTKVDKKVE PKSCDKTHTC PPCPAPELLG GPSVFLFPPK PKDTLMISR PEVTCVVVDV SHEDPEVKFN  
WYVDGVEVHN AKTKPREEQY NSTYRVVSVL TVLHQDWLNG KEYRKCKVSNK ALPAPIEKTI SKIAGQQPREP  
QVYTLPSSRE EMTRKNQVSLT CLVKGFYPSD IAVEWESNGQ PENNYKTTTPP VLDSDGSSFPL YSKLTVDKSR  
WQQGNVFSCS VMHEALHNHY TQKSLSLSPG K

**FIG. 4B**

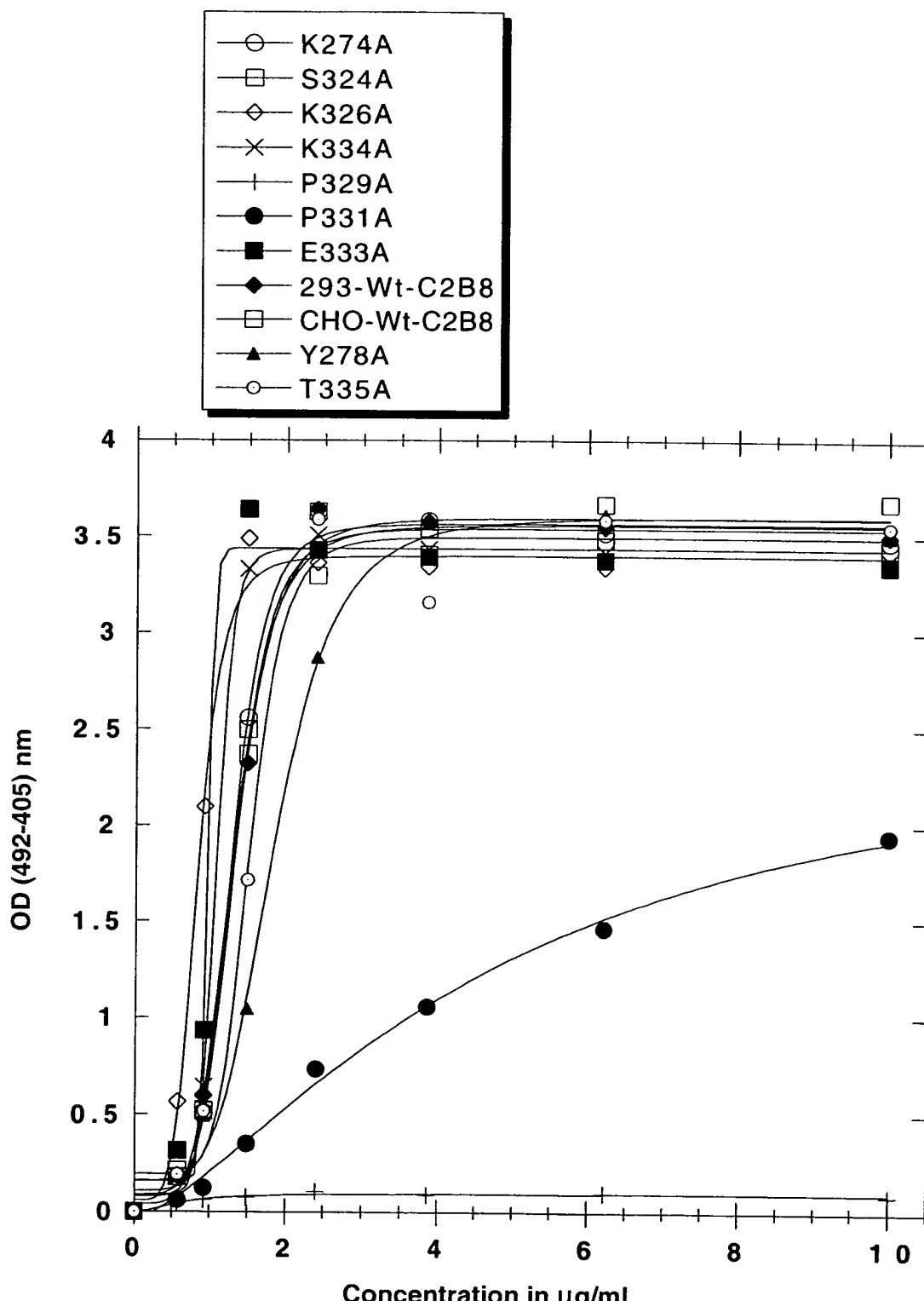


**FIG. 5**

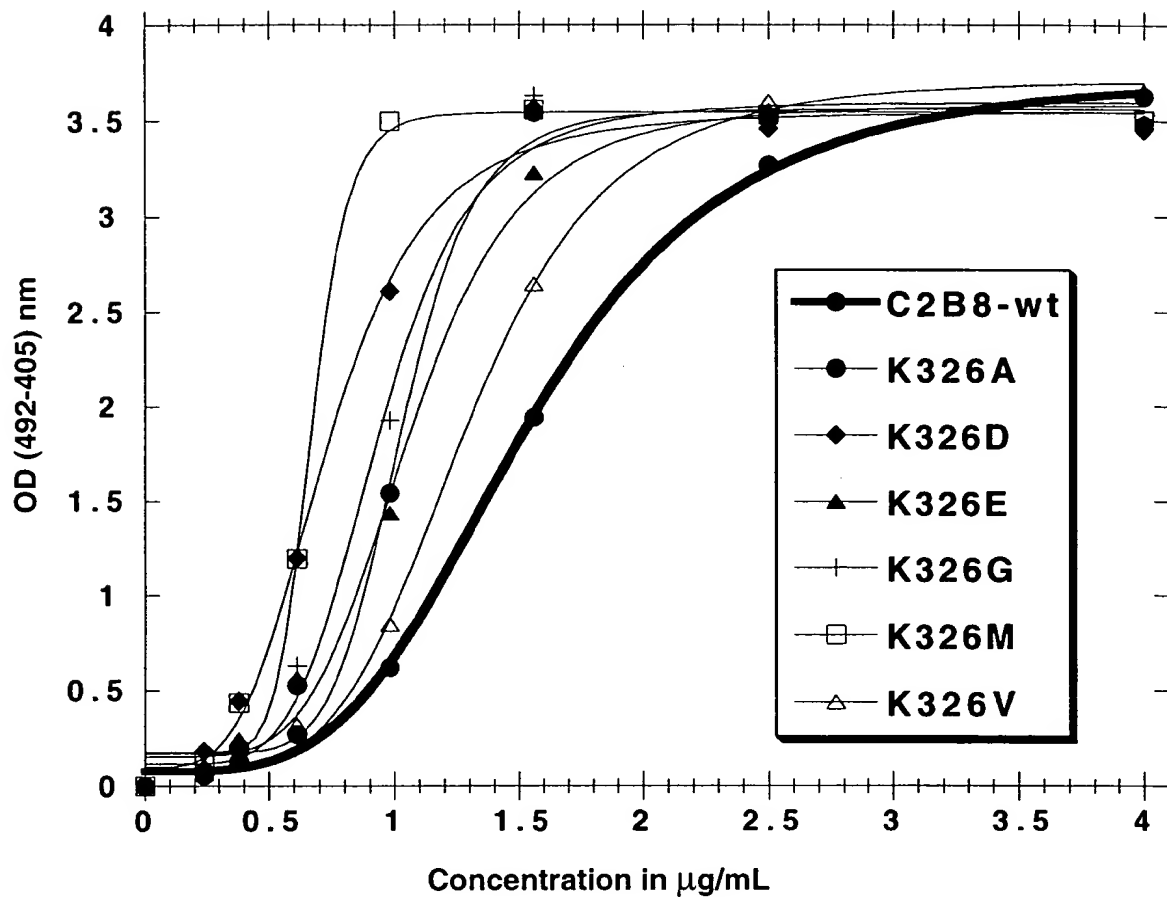
6 / 26

**FIG. 6**Concentration of C2B8 ( $\mu\text{g/mL}$ )**FIG. 7**Log of Concentration of C2B8 ( $\mu\text{g/mL}$ )

7 / 26

**FIG. 8**

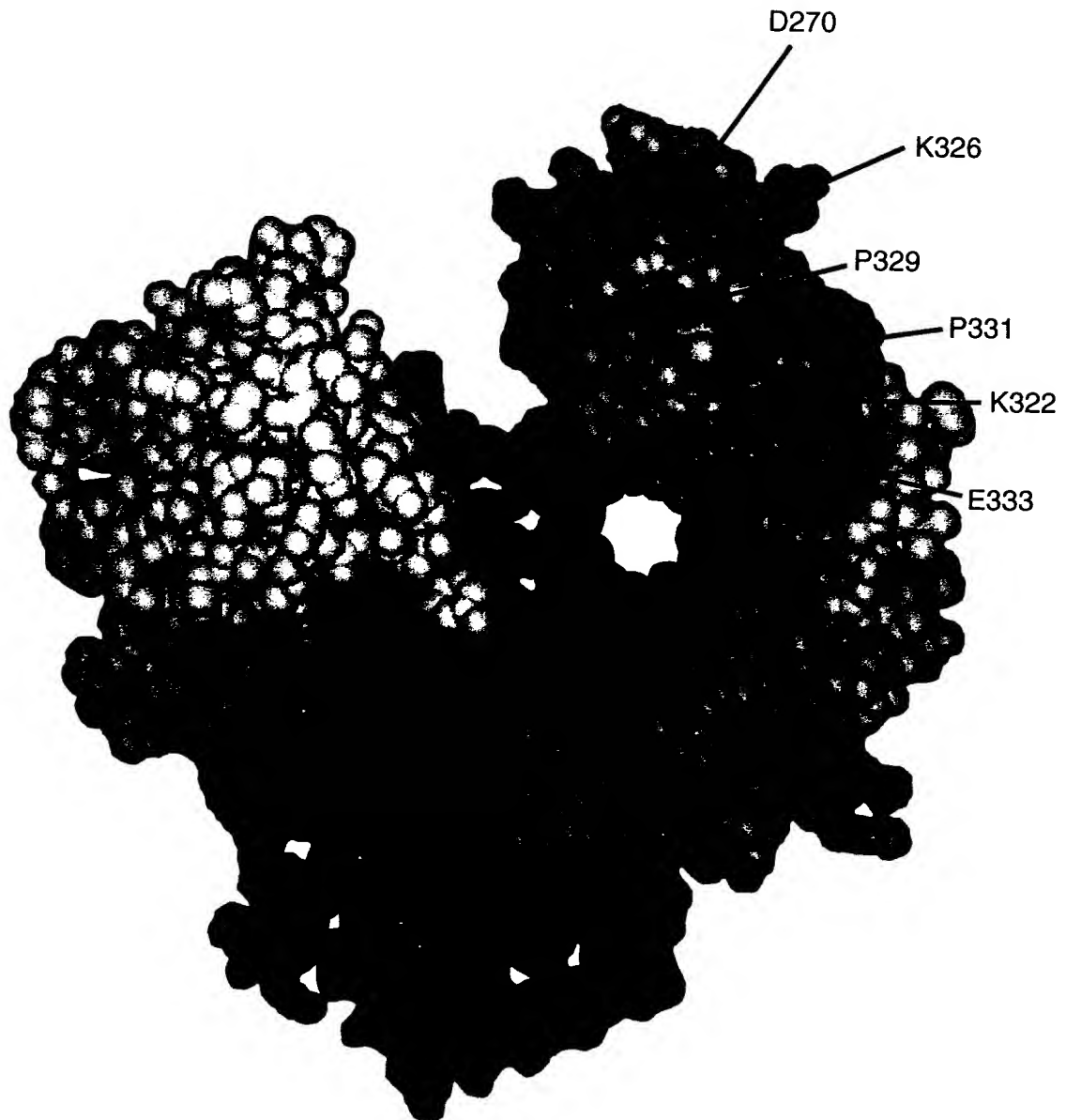
8 / 26

**FIG. 9**

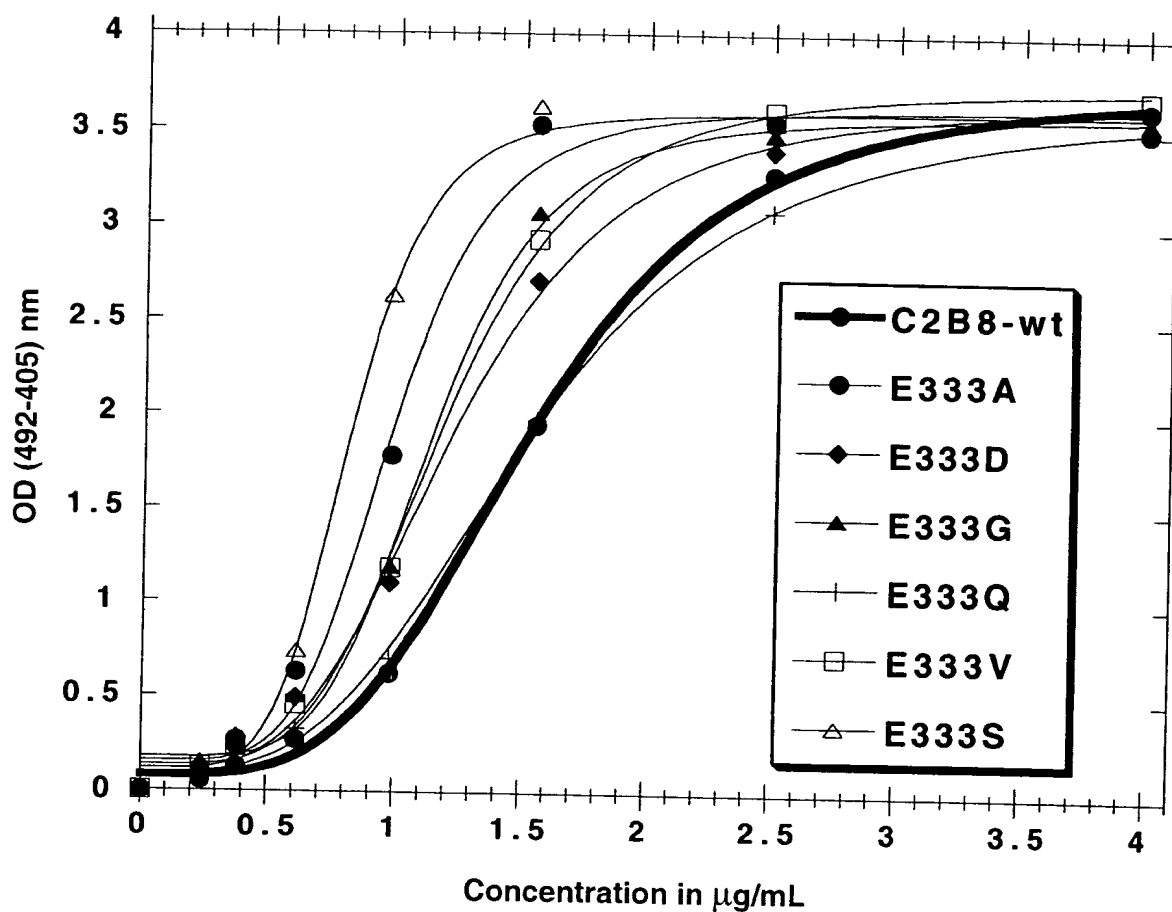
P1726R1P1

9 / 26

BEST AVAILABLE COPY



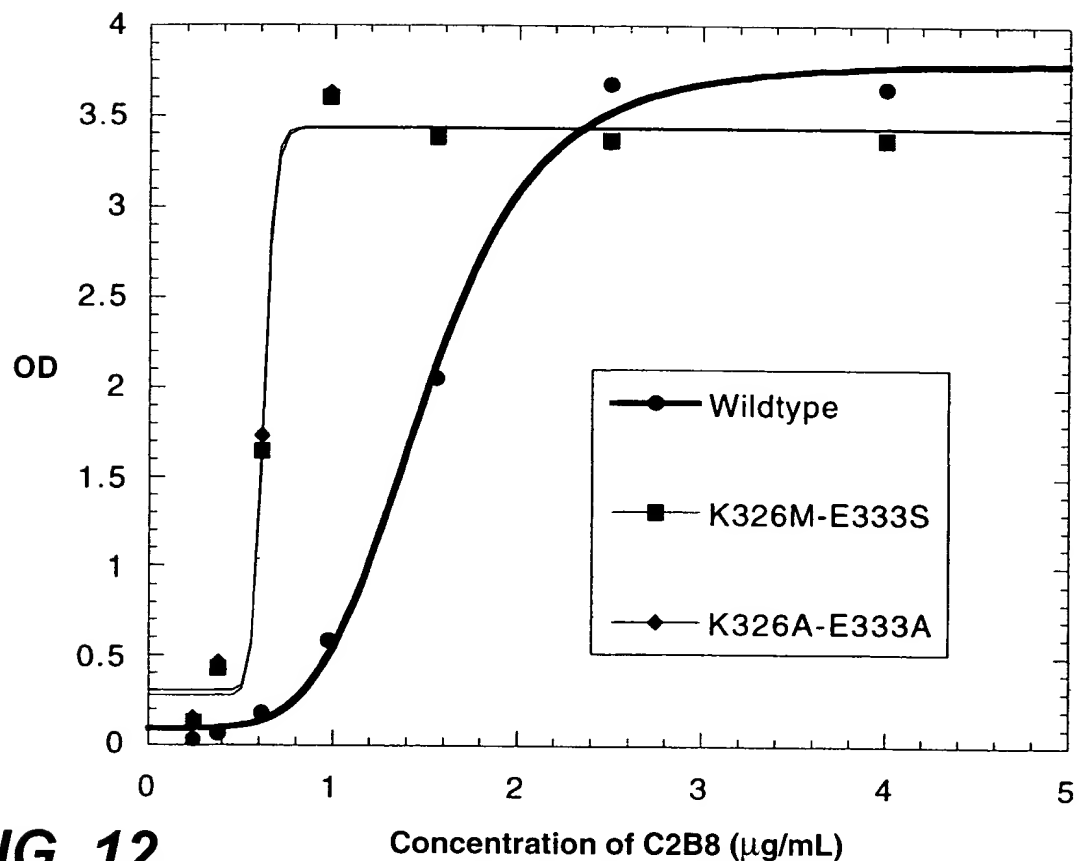
**FIG. 10**



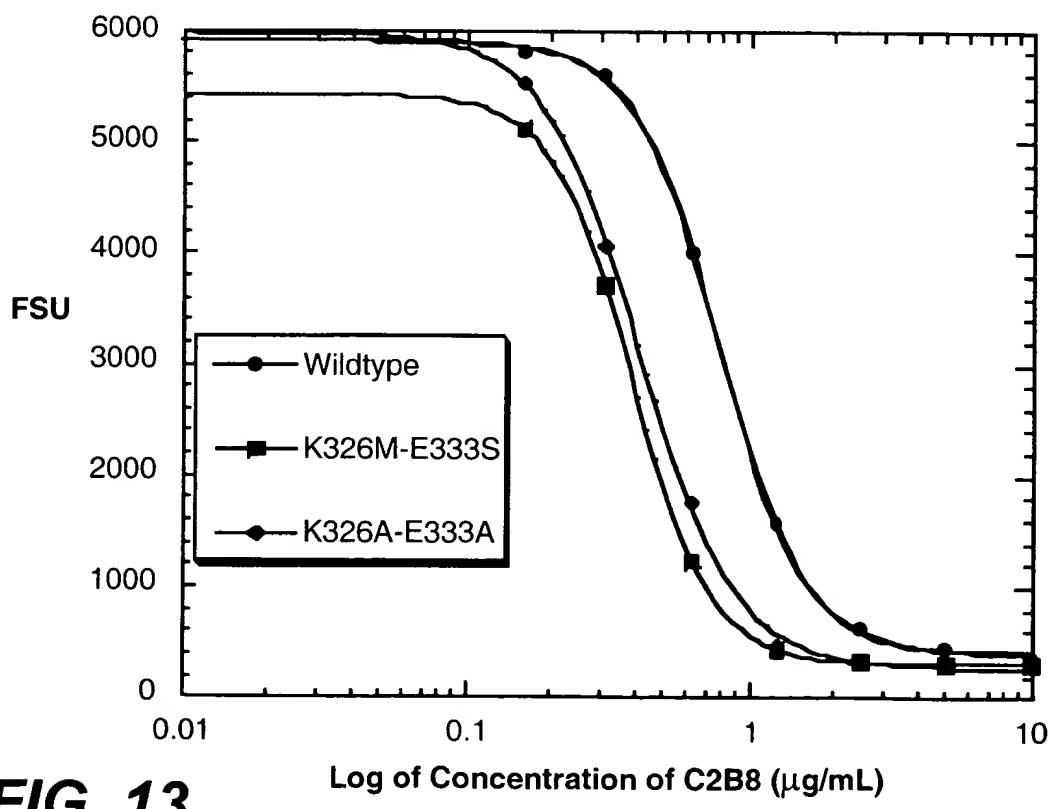
**FIG. 11**

P1726R1P1

11 / 26

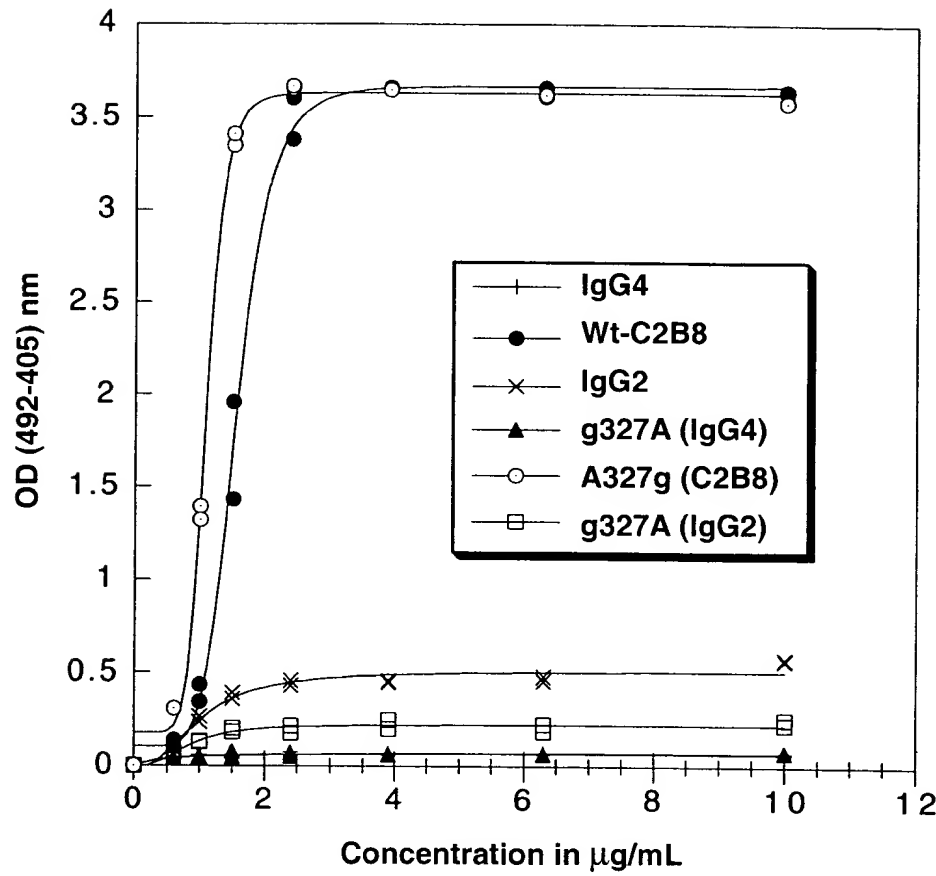


**FIG. 12**



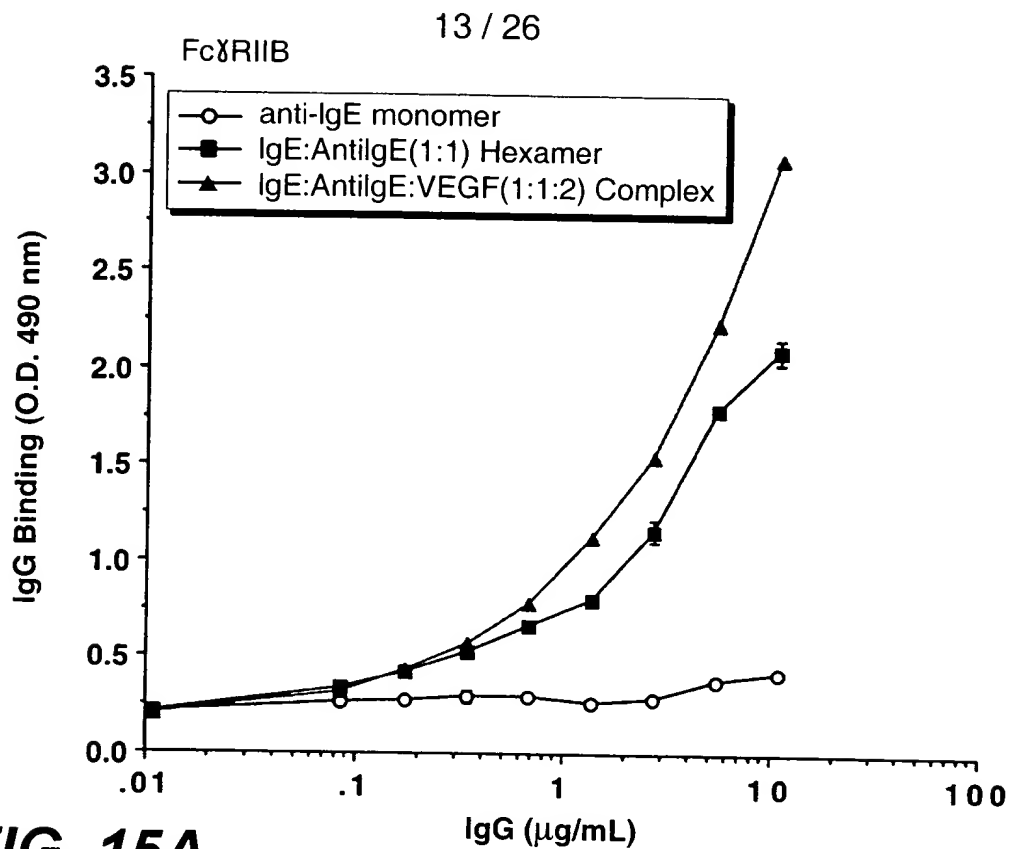
**FIG. 13**

EC50 of wt-C2B8 = 1.54  
EC50 of A327g (C2B8) = 1.08

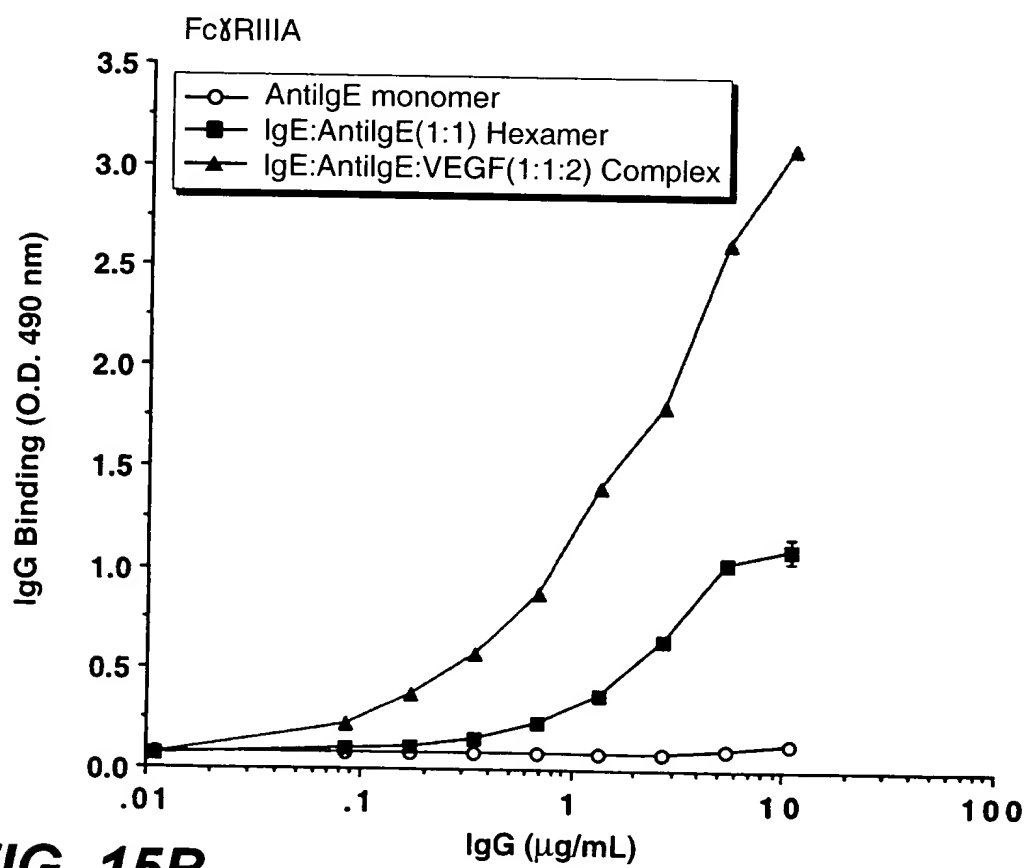


**FIG. 14**

P1726R1P1

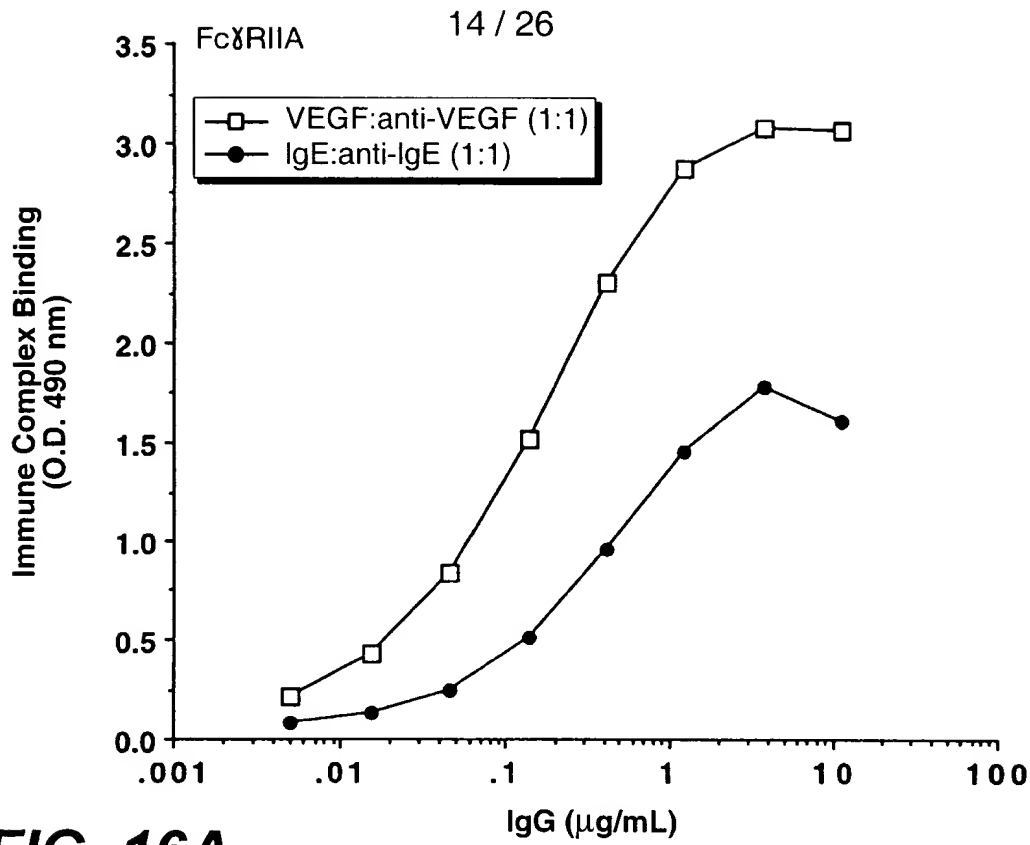


**FIG. 15A**

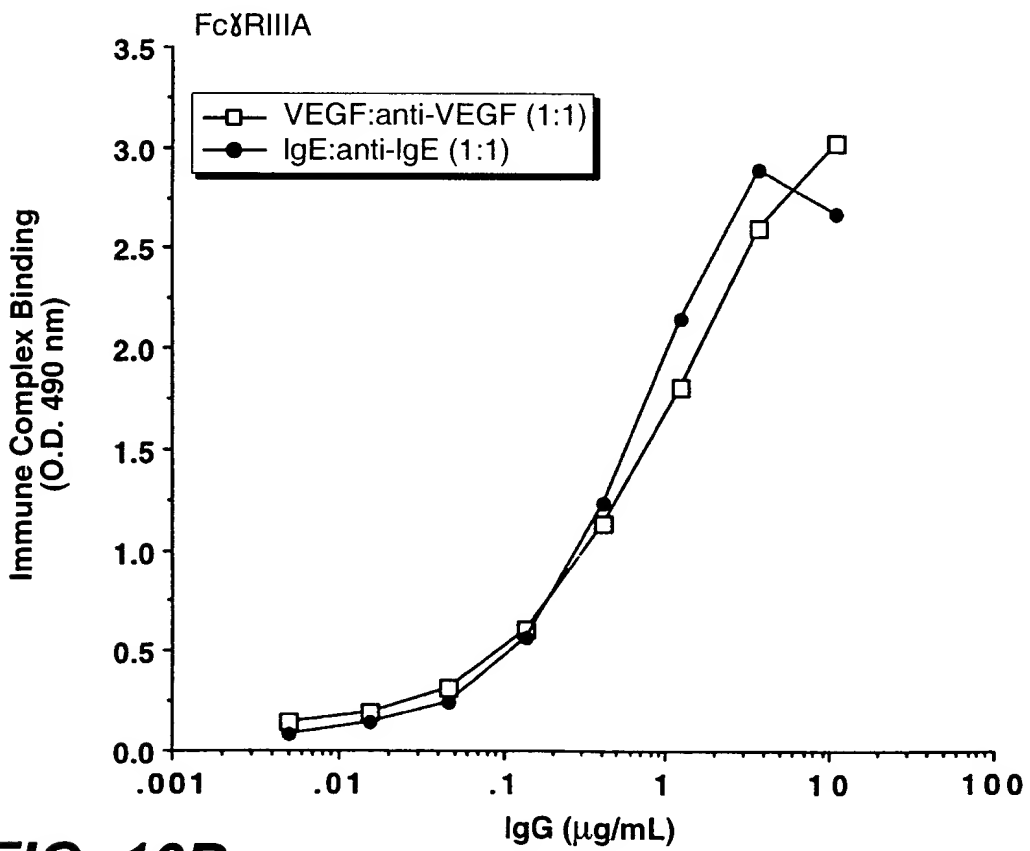


**FIG. 15B**

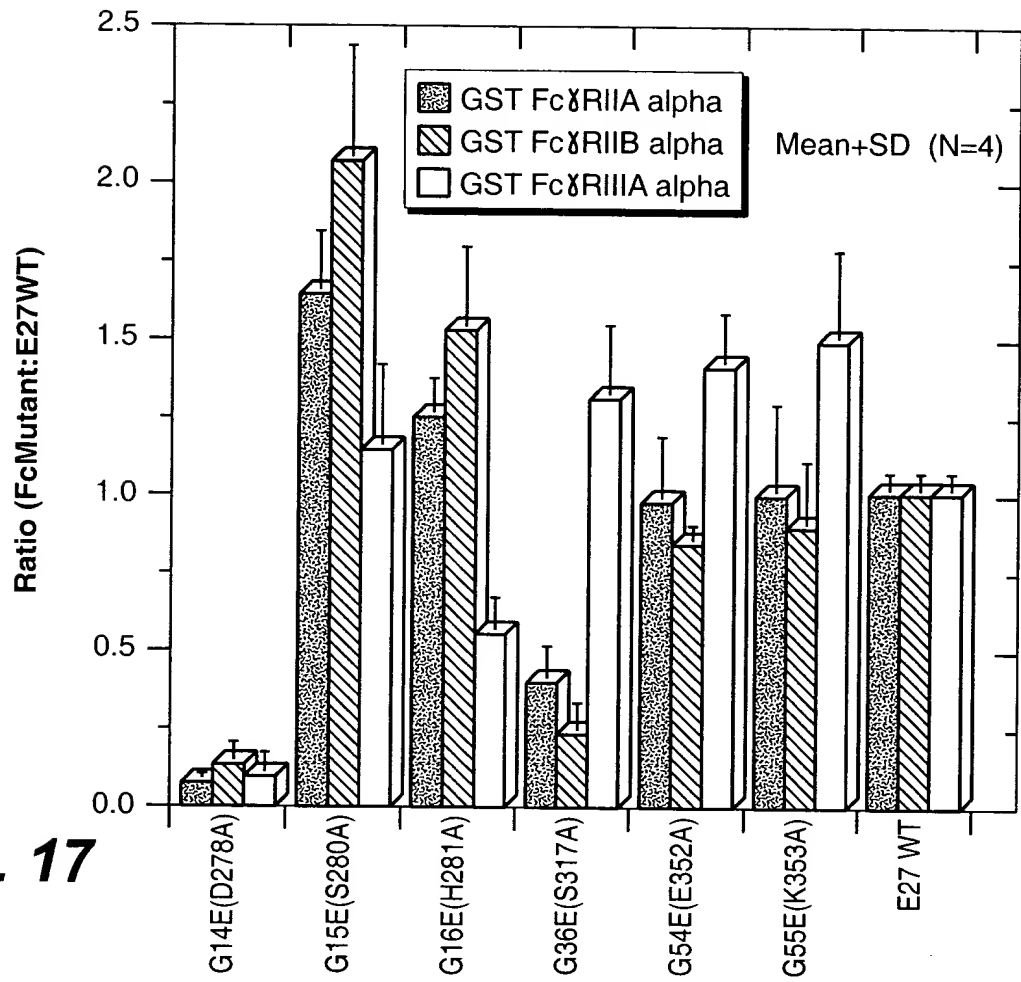
P1726R1P1



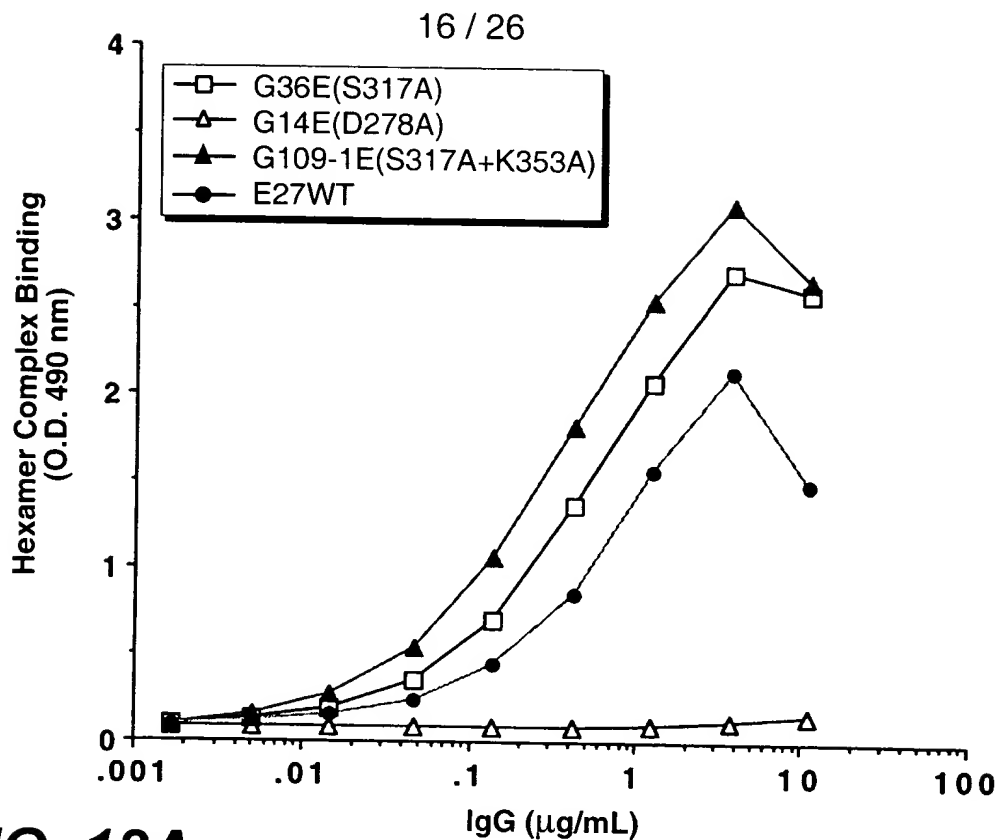
**FIG. 16A**



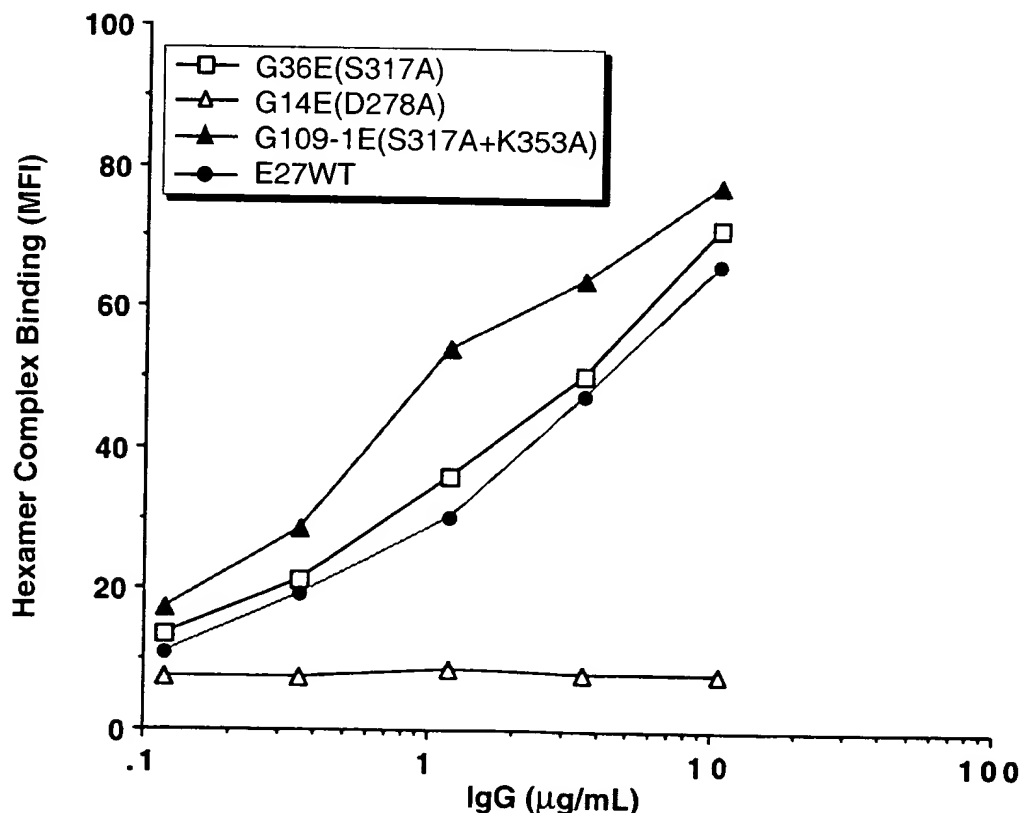
**FIG 16R**

**FIG. 17**

P1726R1P1



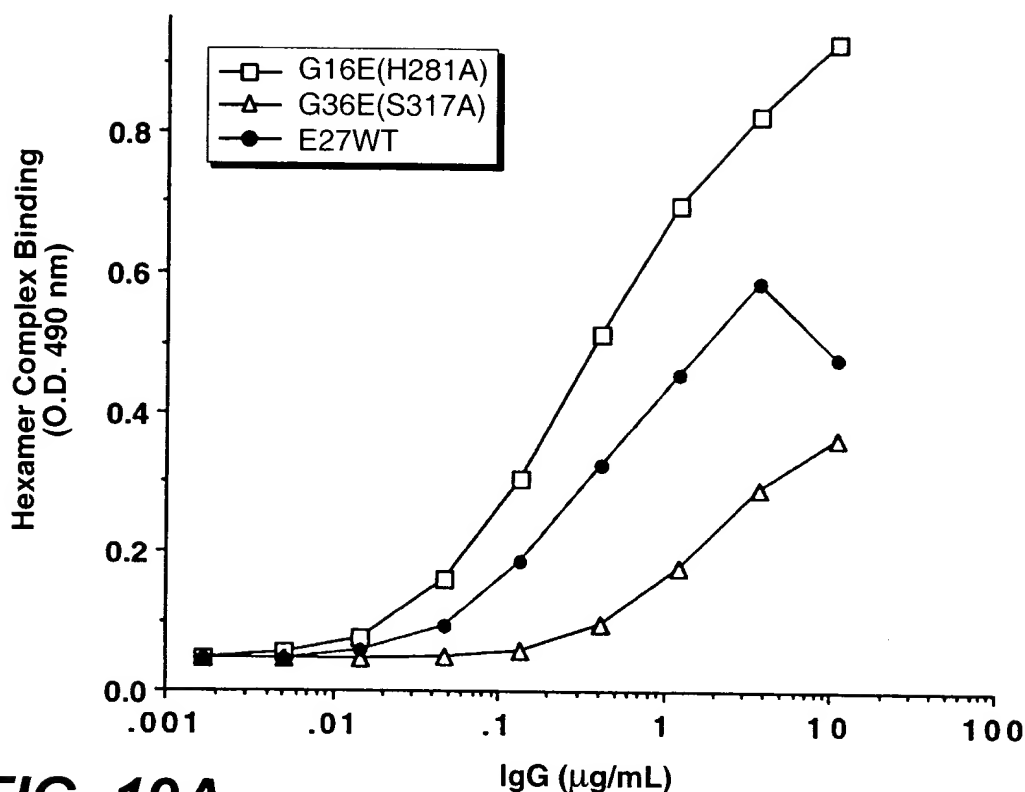
**FIG. 18A**



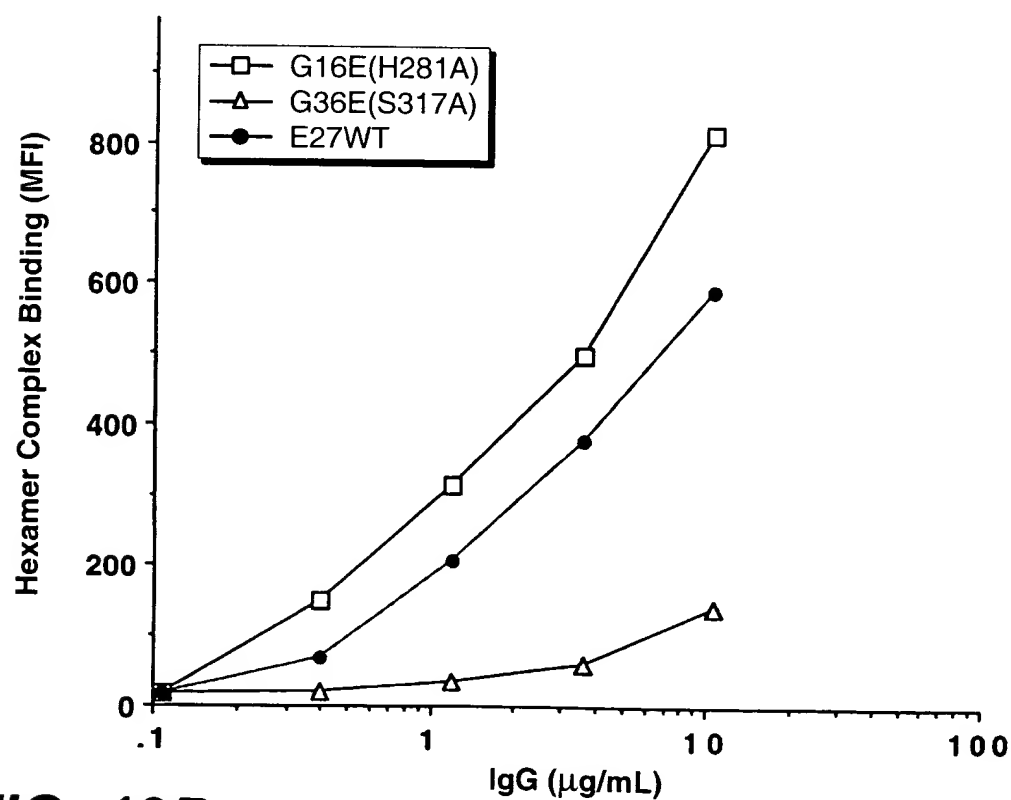
**FIG. 18B**

P1726R1P1

17 / 26

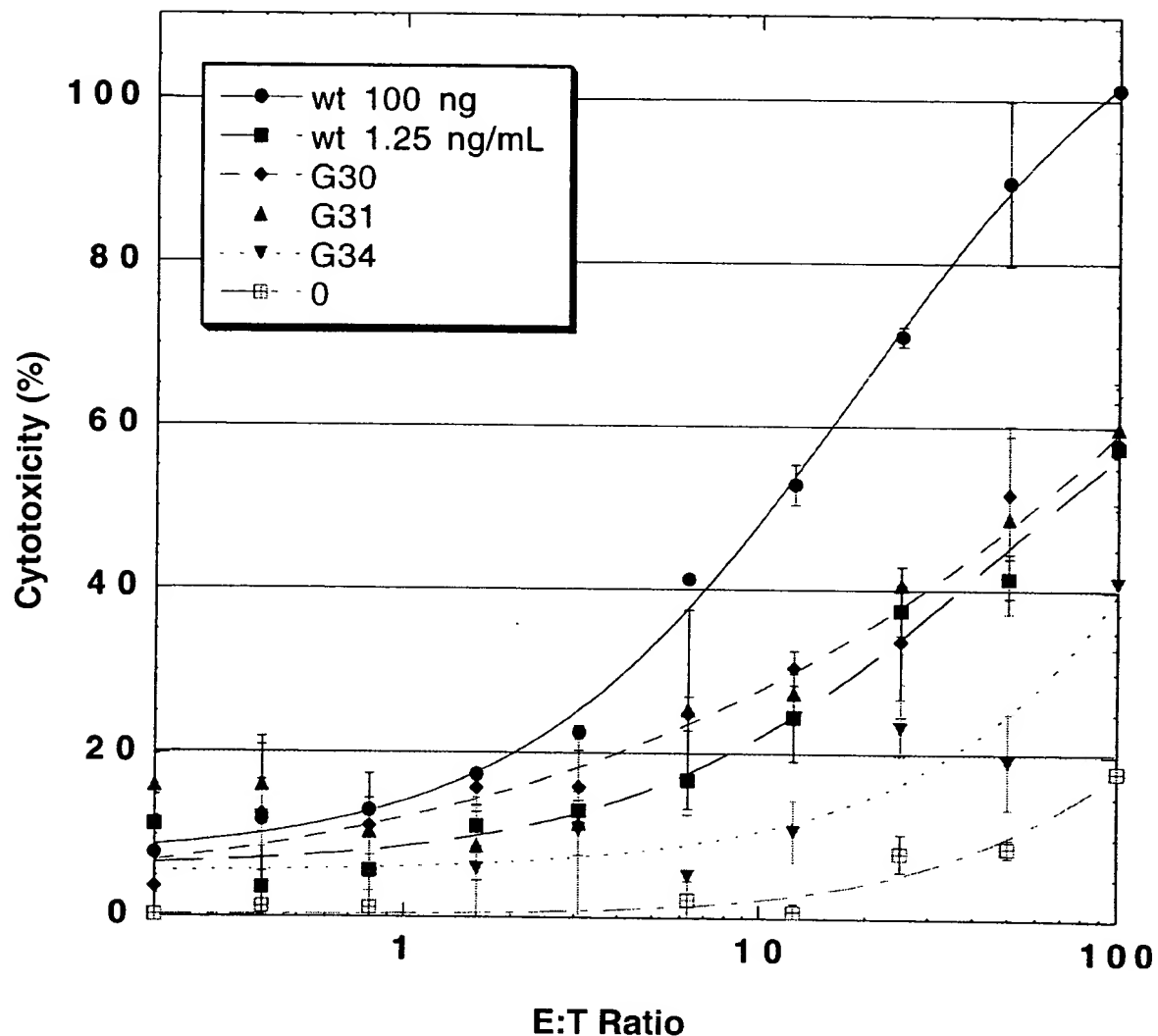


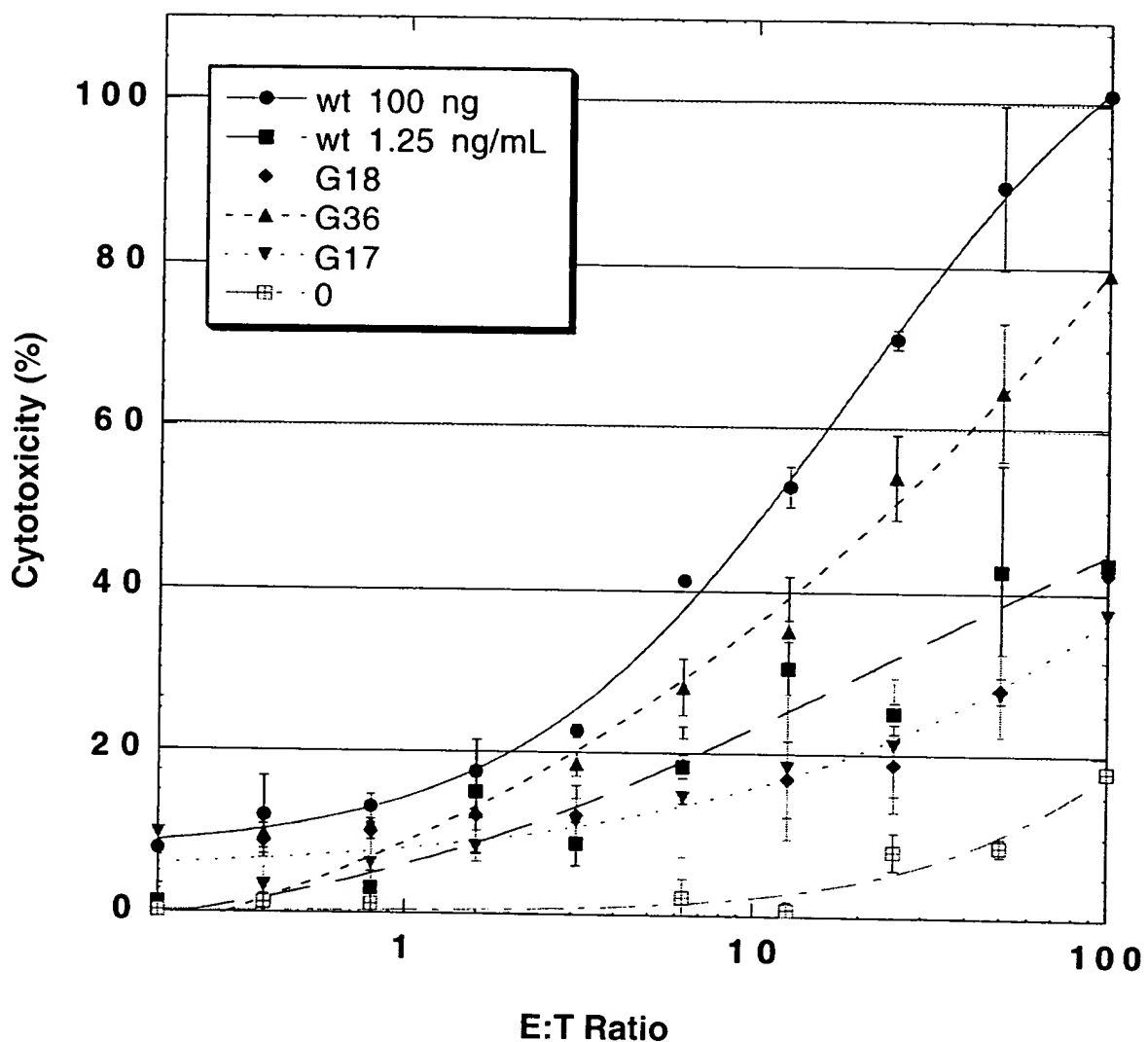
**FIG. 19A**



**FIG. 19B**

18 / 26

**FIG. 20**

**FIG. 21**

20 / 26

	230	240	250	260	270
humIgG1	PAPELLGGPSVFLFPPKPKDTLMISRTPEVTCVVVDVSHEDPEVKFNWYV				
humIgG2	PAP - PVAGPSVFLFPPKPKDTLMISRTPEVTCVVVDVSHEDPEVQFNWYV				
humIgG3	PAPELLGGPSVFLFPPKPKDTLMISRTPEVTCVVVDVSHEDPEVQFKWYV				
humIgG4	PAPEFLGGPSVFLFPPKPKDTLMISRTPEVTCVVVDVSQEDPEVQFNWYV				
murIgG1	---	TVPEVSSVFIFPPKPKDVLТИLTPKVTCVVVDISKDDPEVQFSWFV			
murIgG2A	PAPNLLGGPSVFIFFFFKIKDVLMISSPPIVTCVVVDVSEDDPDVQISWFV				
murIgG2B	PAPNLEGGPSVFIFFFFNIKDVLMISLTPKVTCVVVDVSEDDPDVQISWFV				
murIgG3	PPGNILGGPSVFIFFFFKIKDVLMISSLTPKVTCVVVDVSEDDPDVHVSWFV				
	280	290	300	310	320
humIgG1	DGVEVHNAAKTKPREEQYNSTYRVVSVLTVLHQDWLNGKEYKCKVSNKALP				
humIgG2	DGVEVHNAAKTKPREEQFNSTFRVVSVLTVVHQDWLNGKEYKCKVSNKGLP				
humIgG3	DGVEVHNAAKTKPREEQFNSTFRVVSVLTVLHQDWLNGKEYKCKVSNKALP				
humIgG4	DGVEVHNAAKTKPREEQFNSTYRVVSVLTVLHQDWLNGKEYKCKVSNKGLP				
murIgG1	DDVEVHTAQQTQPREEQFNSTFRSVSELPIMHQDCLNGKEFKCRVNSAAFP				
murIgG2A	NNVEVHTAQQTQTHREDYNSTLRVVSALPIQHQDWMSGKEFKCKVNNKDLP				
murIgG2B	NNVEVHTAQQTQTHREDYNSTIRVVSALPIQHQDWMSGKEFKCKVNNKDLP				
murIgG3	DNKEVHTAWTQPREAQYNSTFRVVSALPIQHQDWMRGKEFKCKVNNKALP				
	330	340	350	360	370
humIgG1	APIEKTISKAKGQPREPQVYTLPPSREEMTKNQVSLTCLVKGFYPSDIAV				
			D L		
humIgG2	APIEKTISKTKGQPREPQVYTLPPSREEMTKNQVSLTCLVKGFYPSDIAV				
humIgG3	APIEKTISKTKGQPREPQVYTLPPSREEMTKNQVSLTCLVKGFYPSDIAV				
humIgG4	SIEKTISKAKGQPREPQVYTLPPSQEEMTKNQVSLTCLVKGFYPSDIAV				
murIgG1	APIEKTISKTKGRPKAPQVYTIPPPKEQMAKDKVSLTCMITDFFPEDITV				
murIgG2A	APIERTISKPKGSVRAPQVYVLPPEEEEMTKKQVTLCMVTDFMPEDIYV				
murIgG2B	SPIERTISKPKGLVRAPQVYTLPPPAAEQLSRKDVSLSCLVVGPNPGDISV				
murIgG3	APIERTISKPKGRAQTPQVYTI PPPREQMSKKVSLTCLVTNFFSEAISV				
	380	390	400	410	420
humIgG1	EWESNGQPENNYKTPPVLDSDGSFFLYSKLTVDKSRWQQGNVFSCVMH				
humIgG2	EWESNGQPENNYKTPPMLSDGSFFLYSKLTVDKSRWQQGNVFSCVMH				
humIgG3	EWESSGQPENNYNTTPPMLSDGSFFLYSKLTVDKSRWQQGNIFSCSVMH				
humIgG4	EWZSNGQPENNYKTPPVLDSDGSFFLYSRLTVDKSRWQEGNVFSCVMH				
murIgG1	EWQWNGQPAENYKNTQPIMTDGSYFVYSKLNQKSWEAGNTFTCSVVLH				
murIgG2A	EWTNNGKTELNYKNTEPVLDSDGSYFMYSKLRVEKNWVERNSYSCSVVH				
murIgG2B	EWTSGNGTHEENYKDTAPVLDSDGSYFIYSKLNMKTSKWEKTDASFSCNVRH				
murIgG3	EWERNGELEQDYKNTPPILDSDGTYFLYSKLTVDTSWLQGEIFTCSVVH				
	430	440			
humIgG1	EALHNHYTQKSLSLSPGK				
humIgG2	EALHNHYTQKSLSLSPGK				
humIgG3	EALHNRFTQKSLSLSPGK				
humIgG4	EALHNHYTQKSLSLSPGK				
murIgG1	EGLHNHHTEKSLSHSPGK				
murIgG2A	EGLHNHHTKSFRTSPGK				
murIgG2B	EGLKNYYLKKTISRSPGK				
murIgG3	EALHNHHTQKNLSRSPGK				

**FIG. 22A**

21 / 26

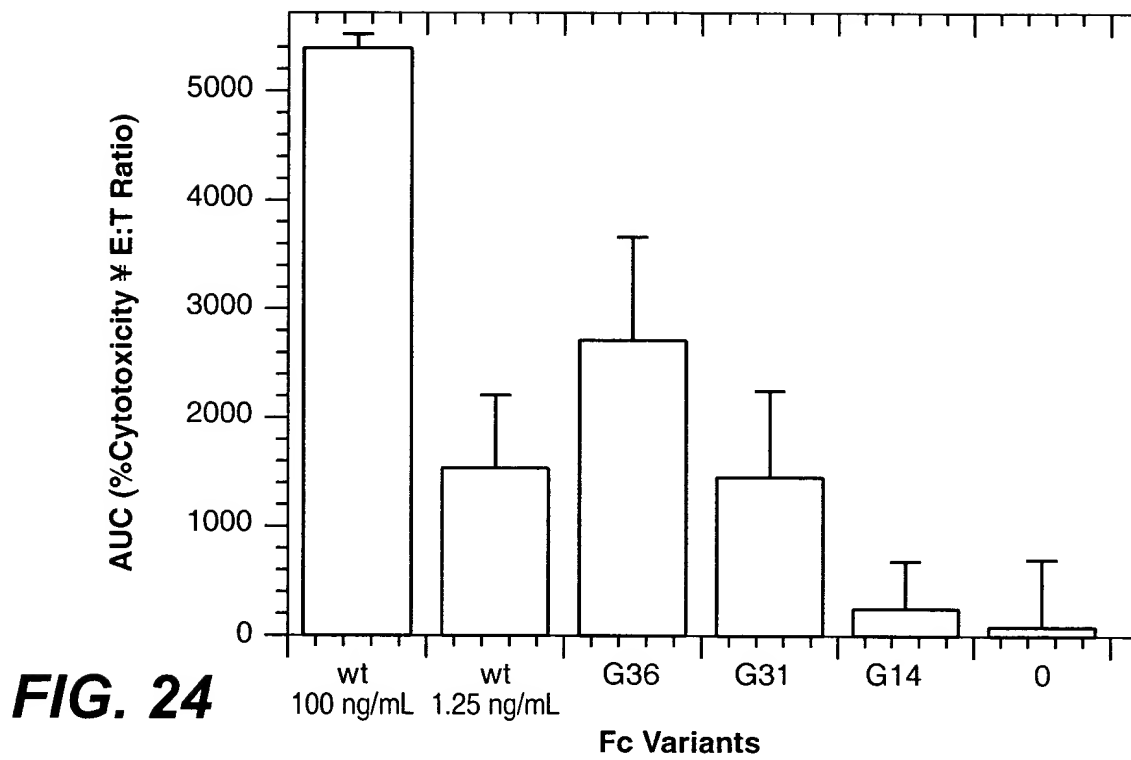
## Percent Identity Among Fc Sequences

	1	2	3	4	5	6	7	8
1. humIgG1	-	94	94	94	64	66	63	68
2. humIgG2		-	93	92	65	63	60	67
3. humIgG3			-	91	64	64	61	67
4. humIgG4				-	62	64	61	64
5. murIgG1					-	65	61	67
6. murIgG2A						-	77	70
7. murIgG2B							-	68
8. murIgG3								-

**FIG. 22B**

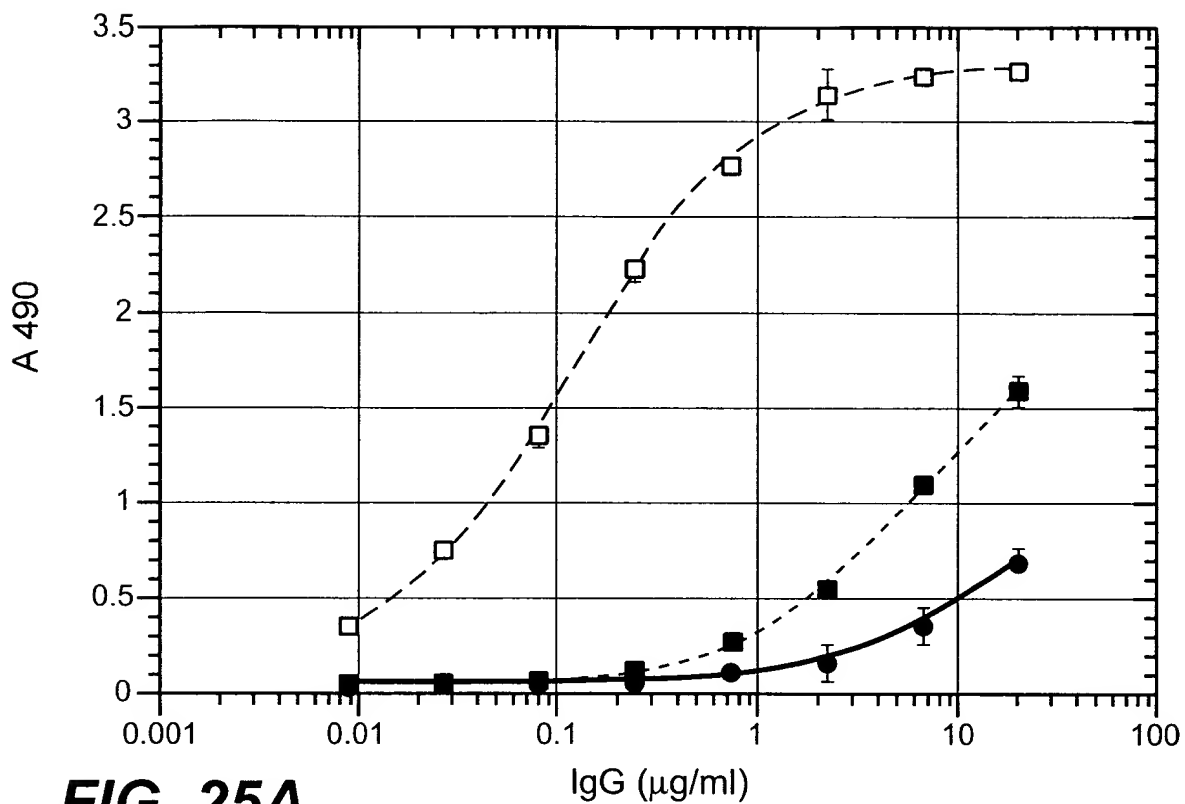
humIgG1	230	240	250	260	270	
	PAPELLGGPSVFLFPPKPKDTLMISRTPEVTCVVVDVSHEDPEVKFNWYV					
humIgG2	PAP-PVAGPSVFLFPPKPKDTLMISRTPEVTCVVVDVSHEDPEVQFNWYV					
humIgG3	PAPELLGGPSVFLFPPKPKDTLMISRTPEVTCVVVDVSHEDPEVQFKWYV					
humIgG4	PAPEFLGGPSVFLFPPKPKDTLMISRTPEVTCVVVDVSQEDPEVQFNWYV					* * *
	****					
humIgG1	280	290	300	310	320	
	DGVEVHNAKTKPREEQYNSTYRVVSVLTVLHQDWLNGKEYKCKVSNKALP					
humIgG2	DGVEVHNAKTKPREEQFNSTFRVVSVLTVVHQDWLNGKEYKCKVSNKGLP					
humIgG3	DGVEVHNAKTKPREEQFNSTFRVVSVLTVLHQDWLNGKEYKCKVSNKALP					
humIgG4	DGVEVHNAKTKPREEQFNSTYRVVSVLTVLHQDWLNGKEYKCKVSNKGLP					* * * *
	*					
humIgG1	330	340	350	360	370	
	APIEKTISKAKGQPREPQVYTLPPSREEMTKNQVSLTCLVKGFYPSDIAV					
			D L			
humIgG2	APIEKTISKKGQPREPQVYTLPPSREEMTKNQVSLTCLVKGFYPSDIAV					
humIgG3	APIEKTISKKGQPREPQVYTLPPSREEMTKNQVSLTCLVKGFYPSDIAV					
humIgG4	SSIEKTISKAKGQPREPQVYTLPPSQEEMTKNQVSLTCLVKGFYPSDIAV					*
	*** *					
humIgG1	380	390	400	410	420	
	EWESNGQPENNYKTPPVLDSDGSFFLYSKLTVDKSRWQQGNVFSCVMH					
humIgG2	EWESNGQPENNYKTPPMLSDSDGSFFLYSKLTVDKSRWQQGNVFSCVMH					
humIgG3	EWESSGQPENNYNTTPPMLSDSDGSFFLYSKLTVDKSRWQQGNIFSCVMH					
humIgG4	EWESNGQPENNYKTPPVLDSDGSFFLYSRLTVDKSRWQEGNVFSCVMH					* * *
	* * *					
humIgG1	430	440				
	EALHNHYTQKSLSLSPGK					
humIgG2	EALHNHYTQKSLSLSPGK					
humIgG3	EALHNRFTQKSLSLSPGK					
humIgG4	EALHNHYTQKSLSLSLGK					** *
	** *					

**FIG. 23**

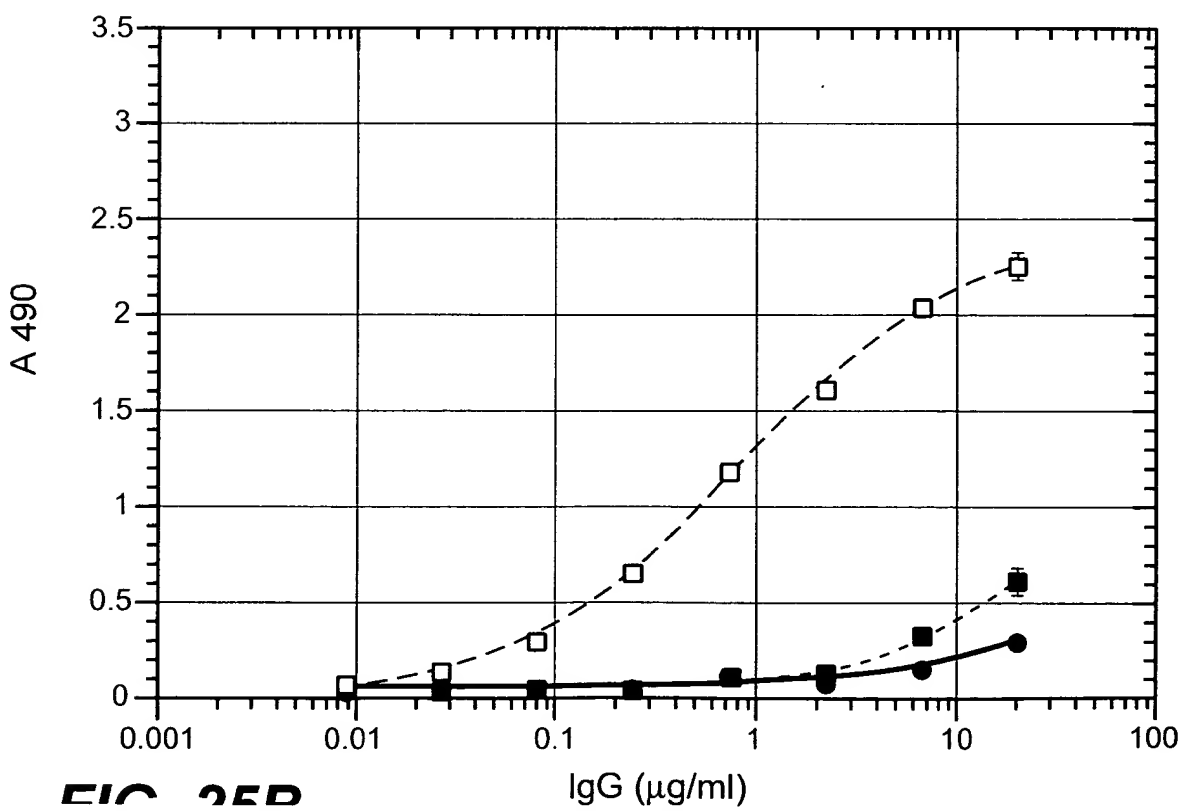


P1726R1P1

23 / 26



**FIG. 25A**



**FIG. 25B**

BEST AVAILABLE COPY

FIG. 26B

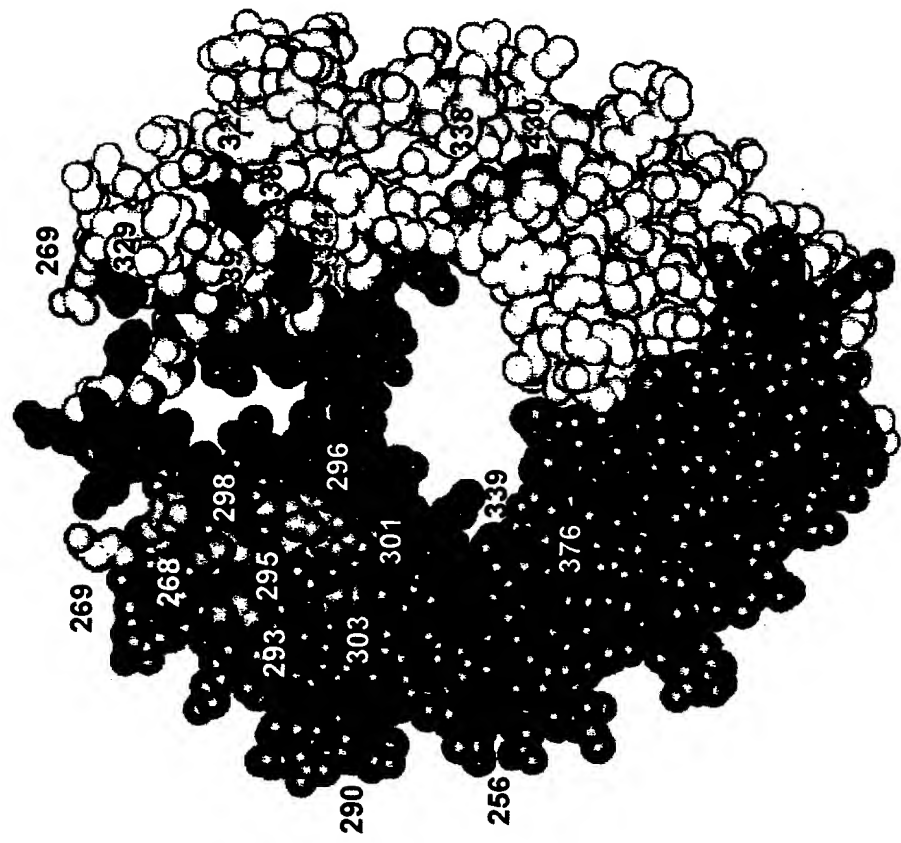


FIG. 26A

